



**Hochschule Offenburg**  
University of Applied Sciences

# **Künstliche Intelligenz**

## **4. Robotik**

Prof. Dr. Klaus Dorer



# Übersicht

Einführung

Agentensysteme

Schwarmintelligenz

**Robotik**

Genetische Algorithmen

Neuronale Netzwerke

Reinforcement Learning

Autonomes Fahren

## ■ Robotik

- Sensoren und Aktuatoren
- Architekturen
- Vorwärts-Kinematik
- Inverse Kinematik
- Laufen auf zwei Beinen

# Ziele

- Grundprinzipien von Robotern kennen
- Geometrische Transformationen durchführen können

# Quellen

- Huang, Qiang, Kazuhito Yokoi, Shuuji Kajita, Kenji Kaneko, Hirohiko Arai, Noriho Koyachi und Kazuo Tanie (2001) Planning Walking Patterns for a Biped Robot. IEEE Transactions on Robotics and Automation, 17:280-289.
- Russel, Norvig (2002) Artificial Intelligence: A Modern Approach. Prentice Hall, ISBN 0137903952.
- Schindler I (2009) Laufen auf zwei Beinen in der simulierten RoboCup 3D-Umgebung, Bachelor Thesis, Hochschule Offenburg
- Ritter B (2012) Steuerung simulierter Roboter mit Kinect. Bachelor Thesis, Hochschule Offenburg

- [www.wikipedia.de](http://www.wikipedia.de)

# Konferenzen

- Robotik: IROS (2019 Macao)
- RoboCup: Wettkampf und Konferenz (2019 Sydney)

# Sensoren und Aktuatoren

## ■ Sensoren

- Propriozeption
- Taktil
- Audible
- Vision
- Orientierung
- Distanz
- Position



Encoder



Berührung

Kraft



Kamera



Mikrofon



Gyroskop



IMU (Gyro + Acceleration)



Ultraschall



Infrarot



Laser Scanner

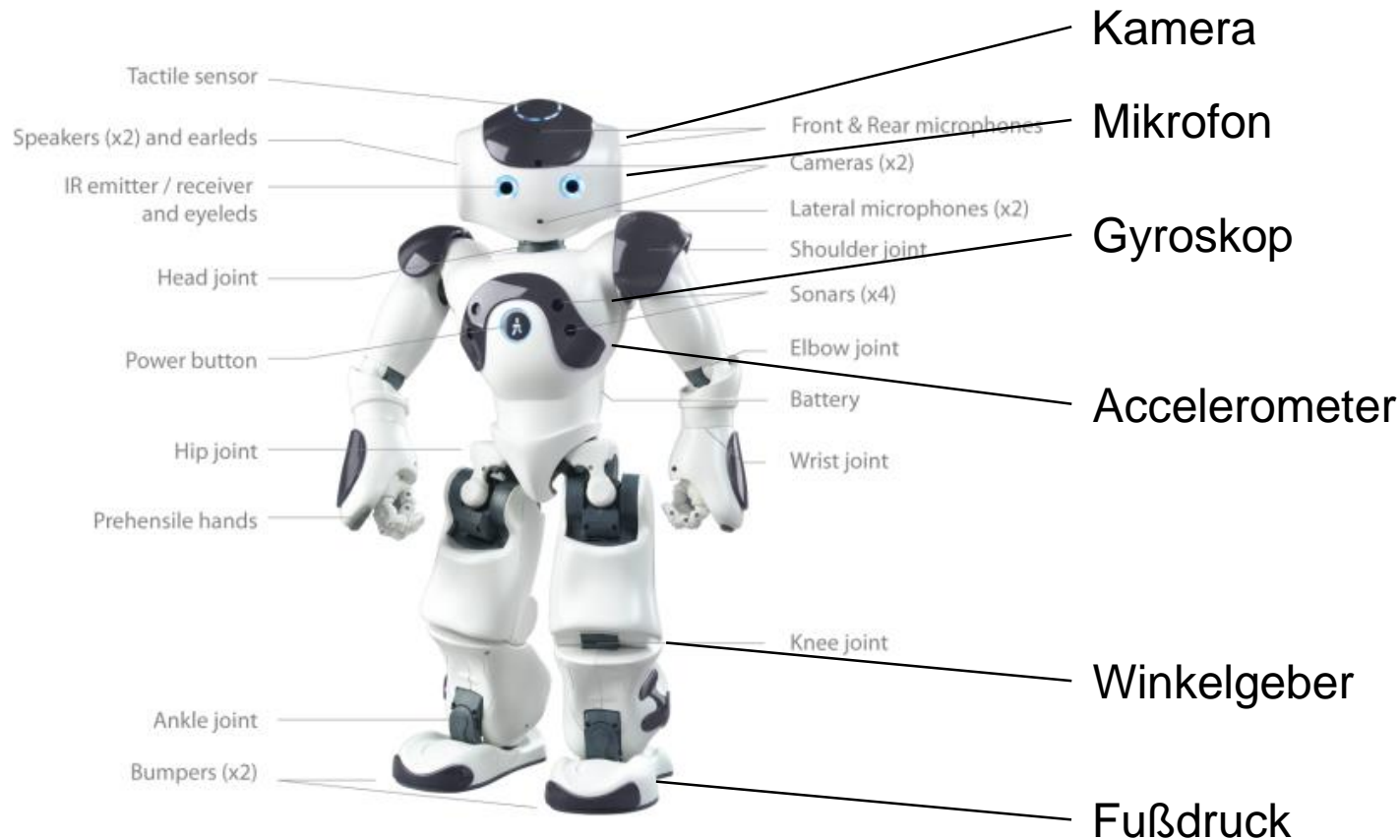


GPS Modul

# Sensoren des Nao

■ Echt

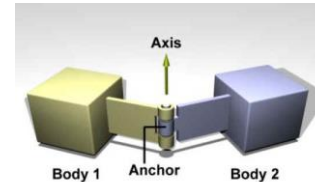
■ Simuliert



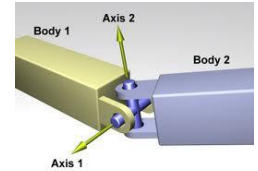
# Sensoren und Aktuatoren

## ■ Aktuatoren (auch Effektoren)

- Anzeige
  - Dioden
  - Bildschirme
- Bewegung
  - Servos
  - Hydraulikzylinder
- Manipulation
  - Greifer



Hinge Joint



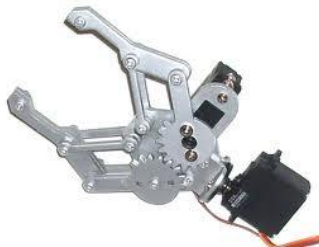
Universal Joint



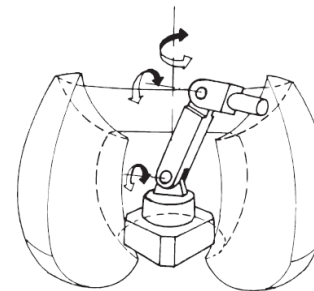
Stepper



Linear Aktuator



Gripper



Typischer Fertigungsroboter



# Aktuatoren des Nao

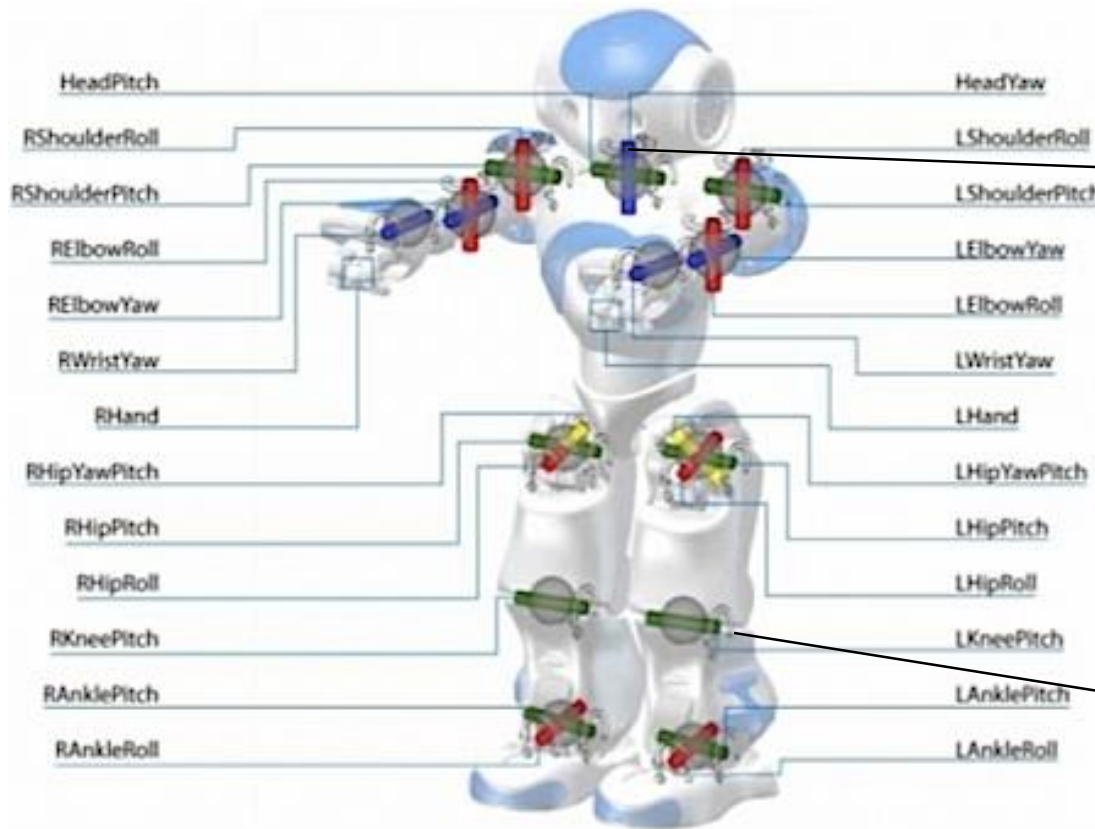
■ Echt

■ Simuliert

Init

Beam

Sprache



Hinge Joint (22x)

# Sensoren und Aktuatoren

## ■ Sensordaten kommen meist getaktet an

- Unterschiedliche Sensoren können unterschiedliche Frequenz haben
- Sensorfrequenz und Aktuatorfrequenz muss nicht übereinstimmen

- Bsp: RoboCup Simulation:

- Hinge Sensoren 50 Hz
- Kamera 16 2/3 Hz
- Hinge Effektoren 50 Hz

- Lösung

- Fusionierung der Sensordaten in ein Modell
- Wahrnehmungen mit Zeitstempel versehen, alte Wahrnehmungen ‚irgendwann‘ vergessen
- Extrapolation des Modells solange keine neuen Sensordaten vorliegen

time	Ball LastSeen
1448.33	1448,33
1448.35	1448,33
1448.37	1448,33
1448.39	1448,39
1448.41	1448,39
1448.43	1448,39
1448.45	1448,45



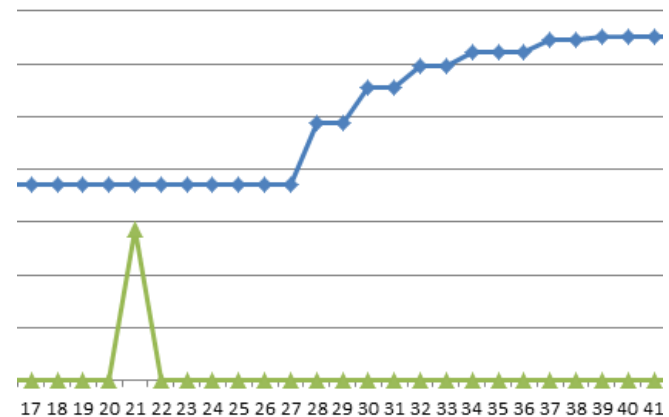
# Sensoren und Aktuatoren

## ■ Sensordaten können Latenz haben

- Bis die Daten ankommen kann Zeit vergehen
- Bsp: RoboCup Simulation:
  - Hinge Sensoren 40 ms
  - D.h. eine Motoransteuerung wird erst 40 ms später gesehen
- Lösung
  - Extrapolation
  - Anpassung der Extrapolation durch Sensorwerte

time	NeckYaw AXIS	NeckYaw SPEED
1448.33	7,11	-7,03
1448.35	6,74	-7,03
1448.37	-0,29	0,037
1448.39	-7,31	7,03
1448.41	-7,27	7,03
1448.43	-0,24	0,176

Simulation

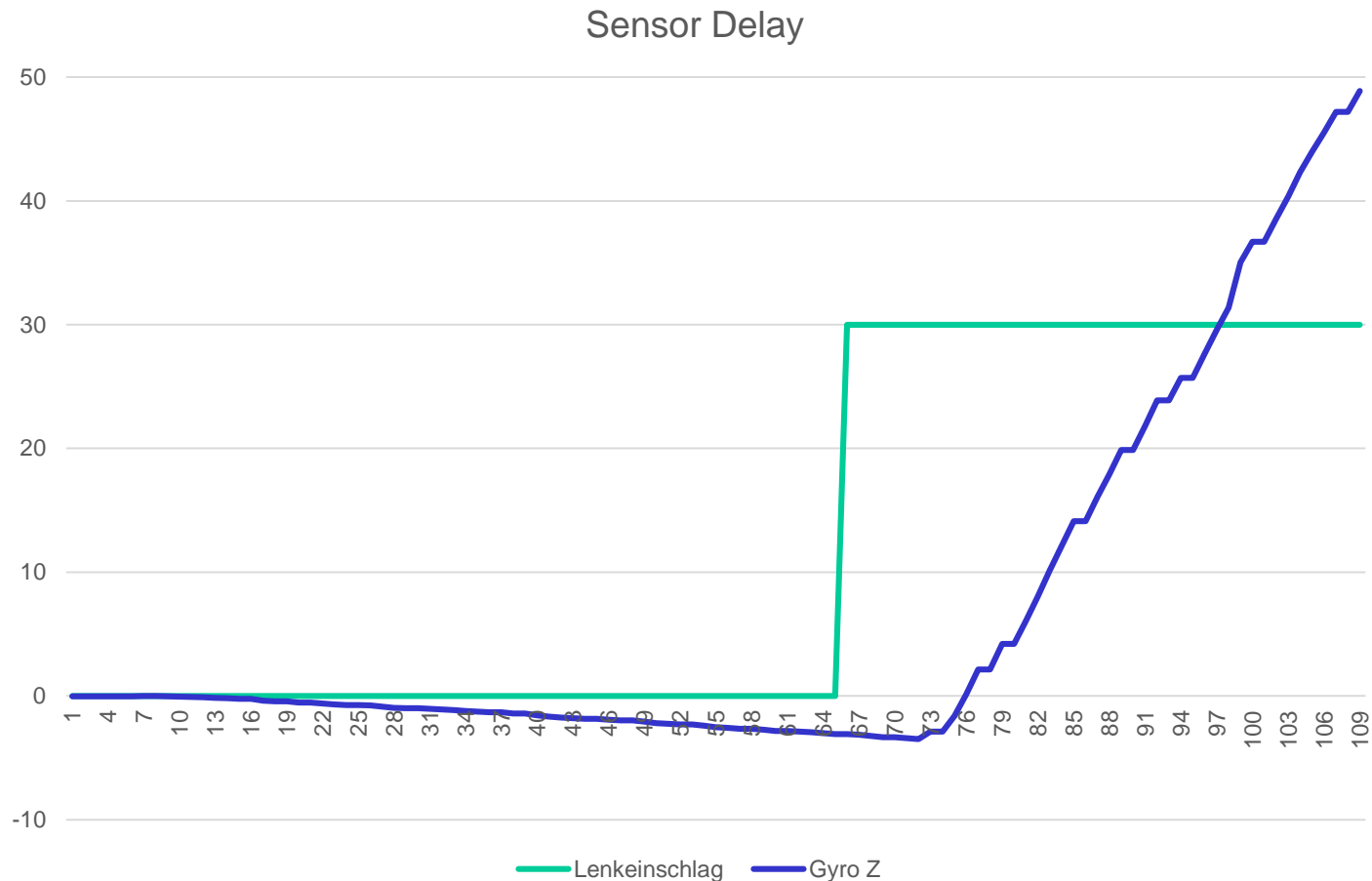


Echter Nao

# Sensoren und Aktuatoren

## ■ Sensordaten können Latenz haben

- Bsp: Audi Cup geradeaus fahren und dann voller Lenkeinschlag



# Sensoren und Aktuatoren

- Sensordaten können verrauscht sein
  - Bsp: RoboCup Simulation
    - Kamera liefert verrauschte Positionen der Objekte
  - Lösung
    - Filterung
      - Mittelung über n Sensorwerte
      - Gewichtete Mittelung über n Sensorwerte
  - Aber! Filter erhöhen auch die Trägheit!
    - Je höher n desto weniger Rauschen
    - Je höher n desto später wird eine tatsächliche Änderung erkannt

time	LastSeen	BallX	BallY	BallLocalX	BallLocalY
1448.33	1448,33	-0,01	-0,041	9,977	-0,044
1448.39	1448,39	-0,007	-0,046	9,997	-0,011
1448.45	1448,45	-0,006	-0,052	9,998	-0,007
1448.51	1448,51	-0,001	-0,031	10,03	0,057

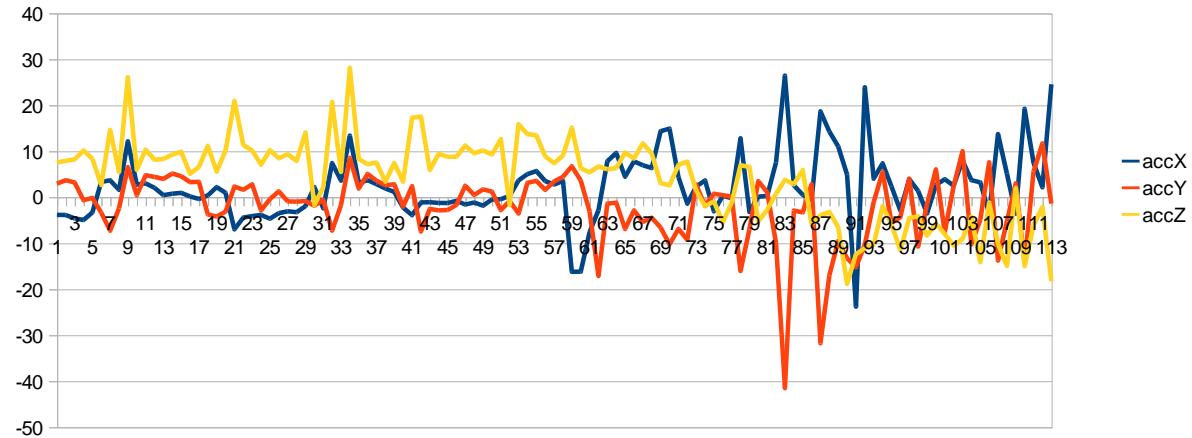
# Sensoren und Aktuatoren

## ■ Rauschen

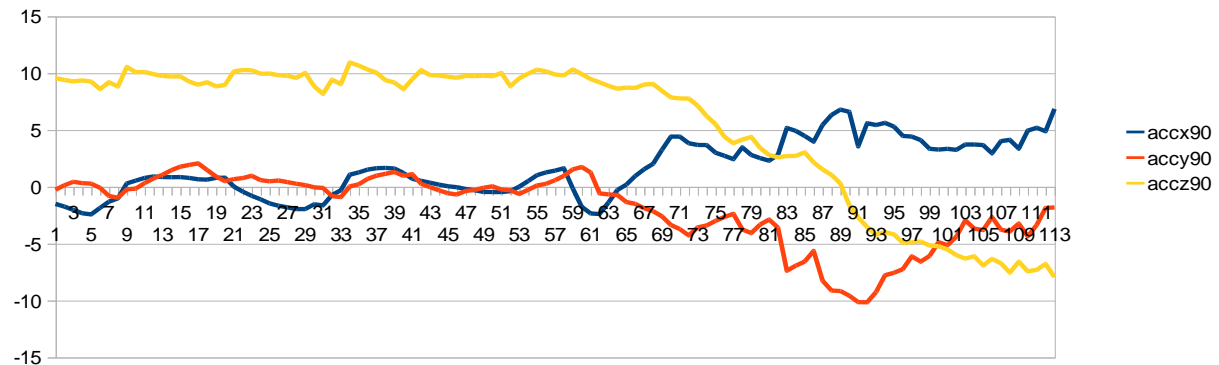
- Accelerometer
- Gyro

## ■ Sensorfusion

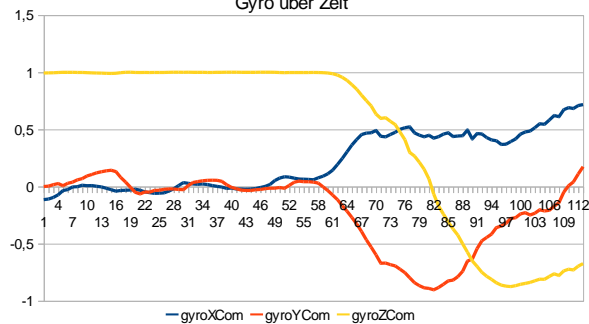
Accelerometer (ungefiltert)



Accelerometer (gefiltert 0.9)



Gyro über Zeit



# Architekturen

## ■ Wie komme ich von Sensordaten zu einer Aktion?

### ■ Reaktiv

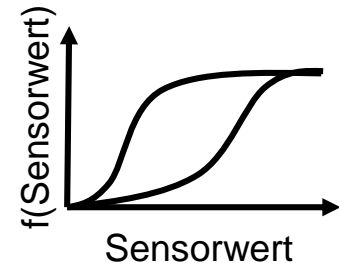
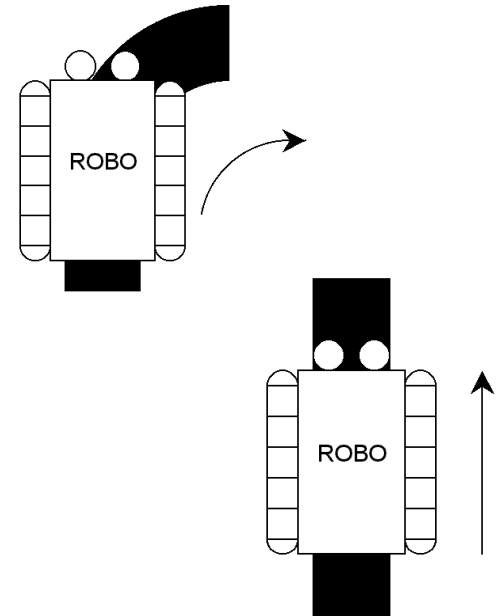
- Wenn linksHell und rechtsDunkel dann rechts
- Wenn linksDunkel und rechtsDunkel dann geradeaus

### ■ Vorteile

- Sehr schnell
- Einfach

### ■ Nachteile

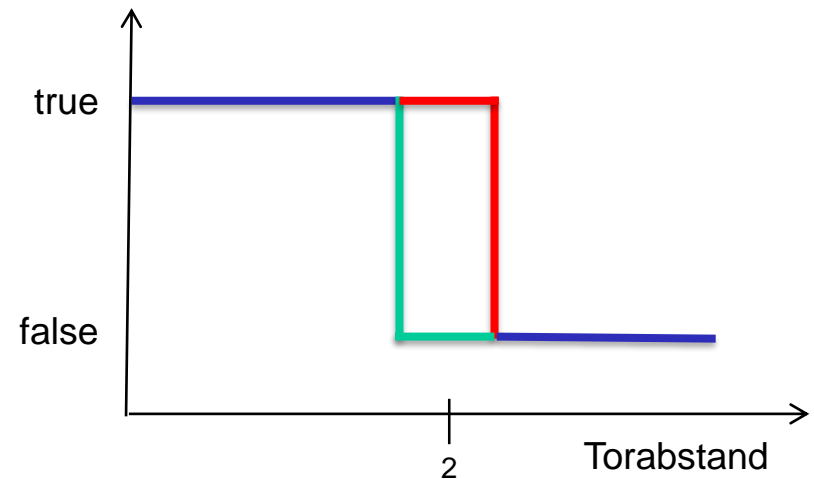
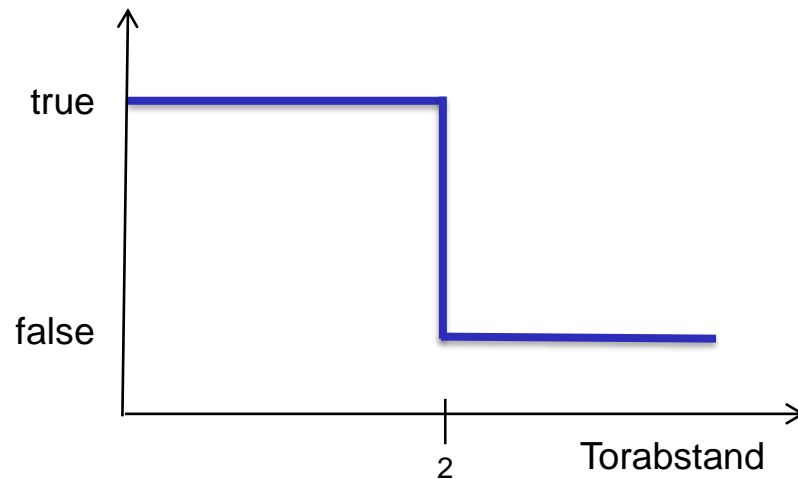
- Flickering
  - Hysterese kann helfen
- Schwierig höhere Fähigkeiten zu erzielen oder zielgerichtet zu handeln



# Hysteresis Funktion

## ■ Beispiel Sweaty

- „Soll der Torwart raus oder nicht?“
- Basierend auf wie weit der Ball vom Tor(mittelpunkt) entfernt ist
- Klassisch: ab  $< 2$  m true      Hysteresis:  $< 1.9$  m bzw.  $2.1$  m

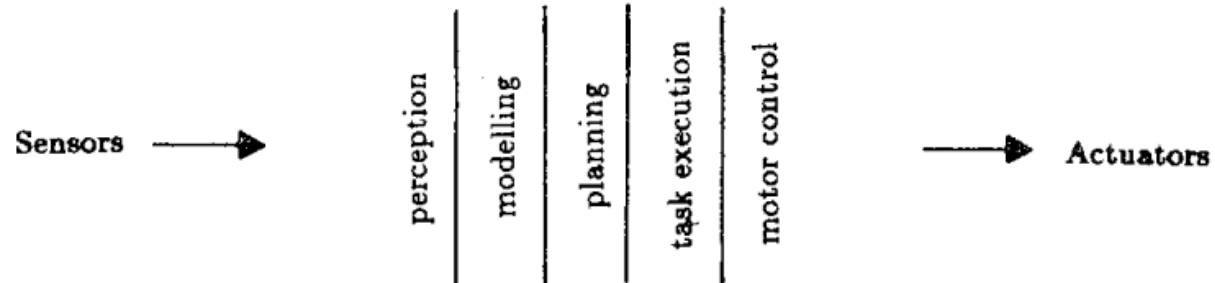


- Falls gerade true
- Falls gerade false

# Architekturen

## ■ Sequentielles Modell

- Ebenen werden nacheinander durchlaufen
- Verwendet von magmaOffenburg



## ■ Vorteile

- Einfach
- Modell erlaubt komplexe Zusammenhänge zu modellieren

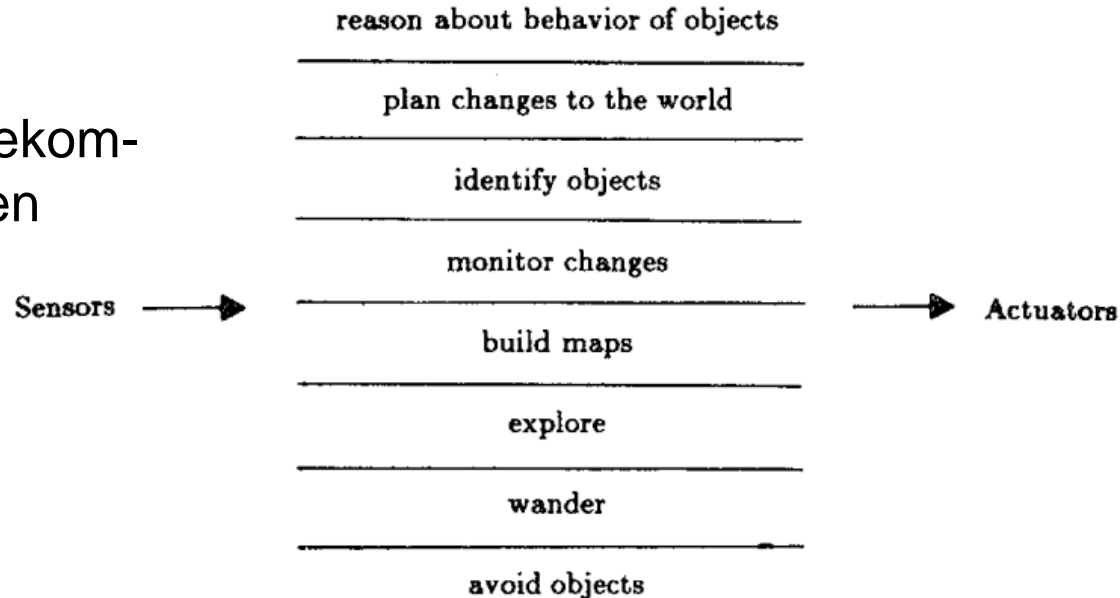
## ■ Nachteile

- Beim Fehlschlag eines Teils fallen alle Teile aus
- Reaktionsgeschwindigkeit hängt vom kompletten Pfad ab und damit von der langsamsten Komponente

# Architekturen

## ■ Subsumption

- Schichtenbasierte Dekomposition von Verhalten
- Höhere Ebenen können niedrigere Ebenen hemmen oder subsumieren



## ■ Vorteile

- Wenn höhere Schichten ausfallen funktioniert z.B. immer noch die Obstacle Avoidance
- Schnelle Reaktionen möglich, auch wenn höhere Schichten lange rechnen müssen

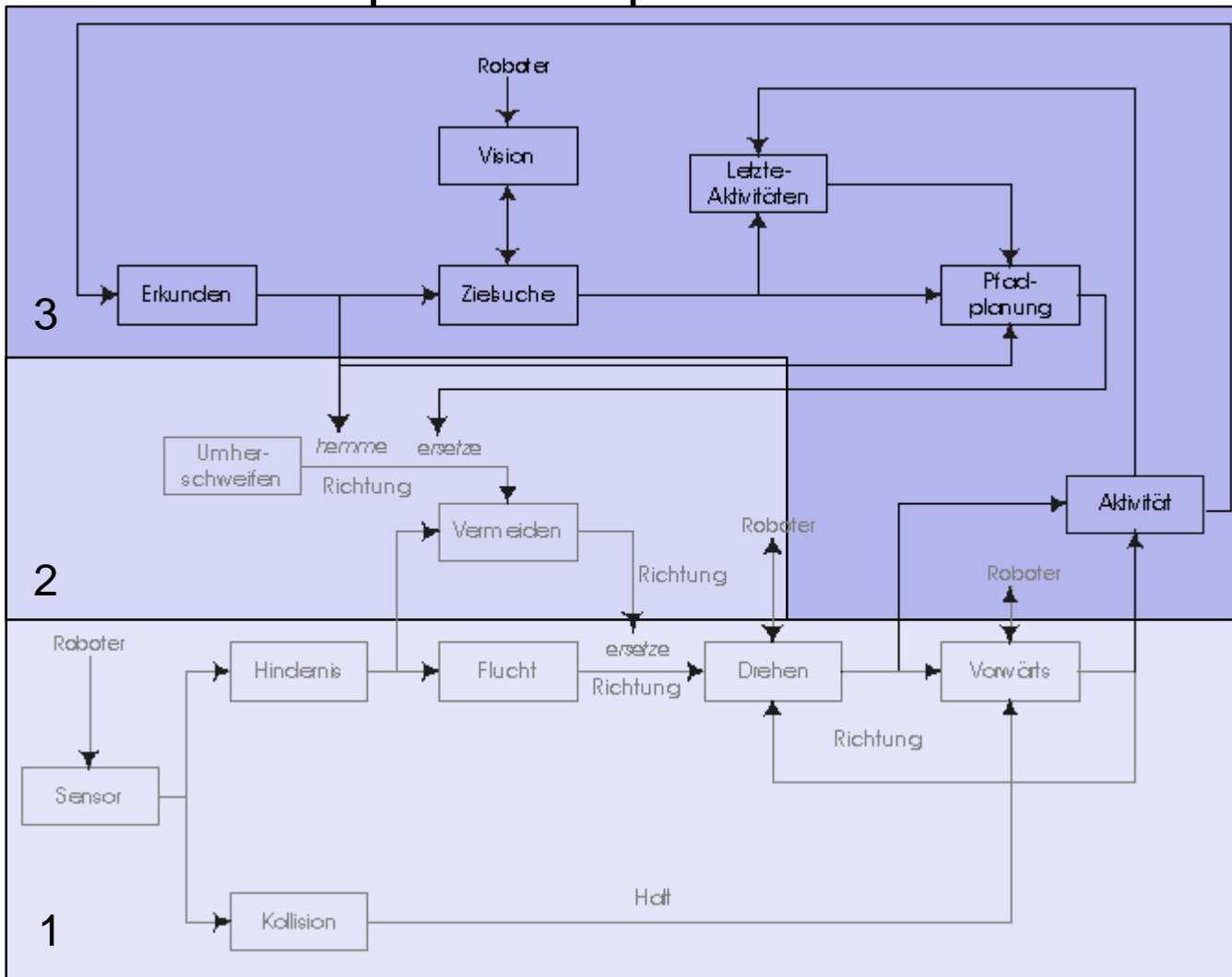
## ■ Nachteile

- Es wird immer schwieriger, je mehr Schichten dazu kommen



# Architekturen

## ■ Subsumption Beispiel



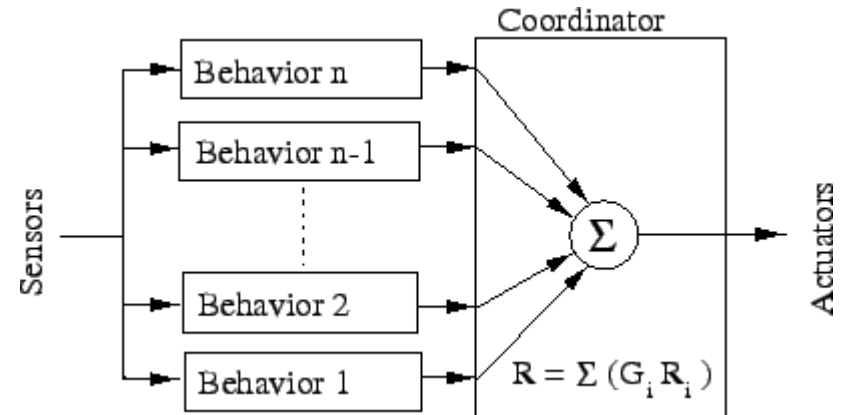
Ebene 1 + 2 + 3

Ebene 1 + 2

# Architekturen

## ■ Motor Schemas

- Biologisch inspiriert
- Benutzt Kraftfelder oder Potenzialfelder für die Abbildung Sensorraum -> Motorraum
- Koordinierung der Behaviors als Summierung der Felder



## ■ Vorteile

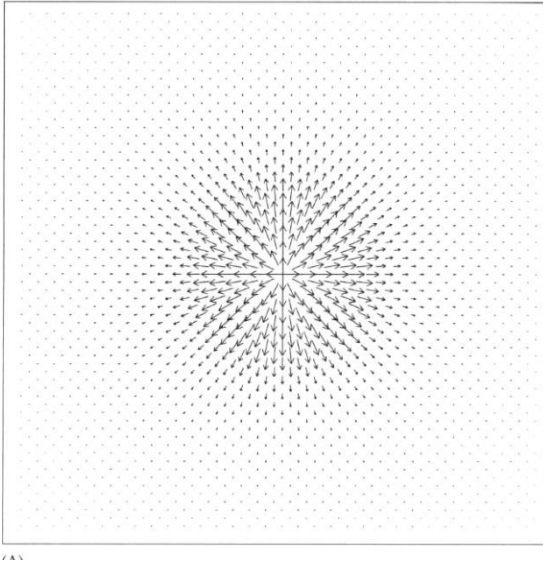
- Einfache Überlagerung von Verhalten

## ■ Nachteile

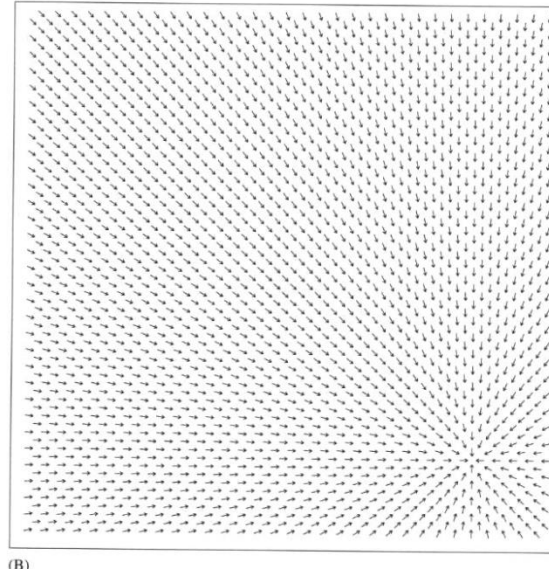
- Lokale Minima
  - Noise hinzufügen
- Schwierig, in jeder Situation gewünschtes Verhalten zu erzielen

# Architekturen

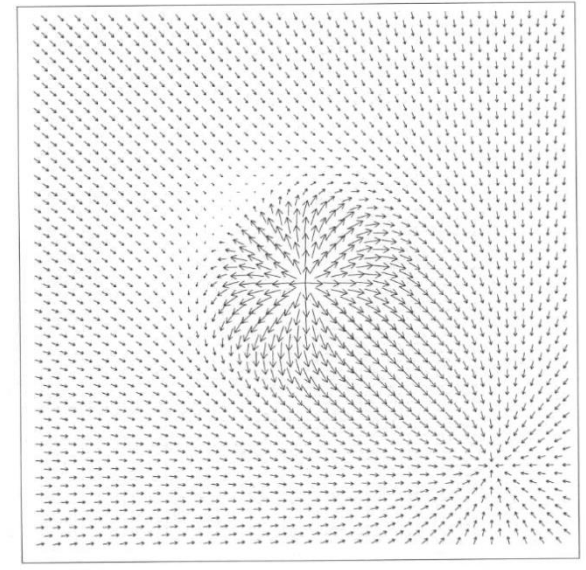
## ■ Motor Schemas Beispiel



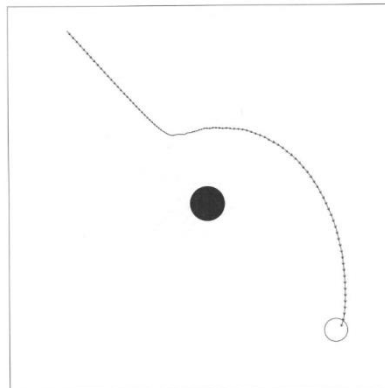
Hindernis



Ziel



Beides zusammen

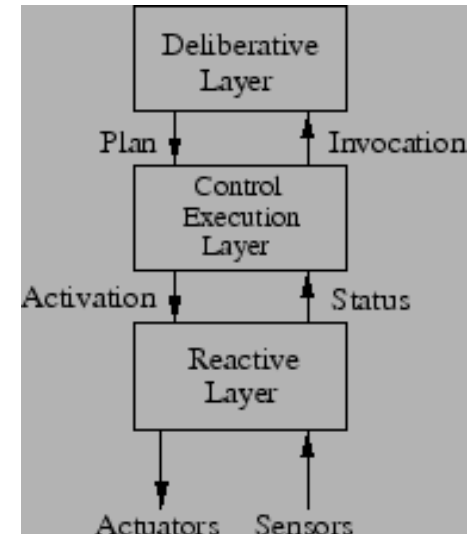


Verfolgter Pfad

# Architekturen

## ■ Hybride Ansätze

- Deliberative Layer: High level planning für die Zielerreichung
- Control Execution Layer: Zerlegung des High Level Plans in Unteraufgaben
- Reactive Layer: Ausführung der Behaviors und Reaktion auf Ereignisse
- Verwendet in JPL Rovern



## ■ Vorteile

- Entkopplung erlaubt längere Rechenzeiten fürs Planen

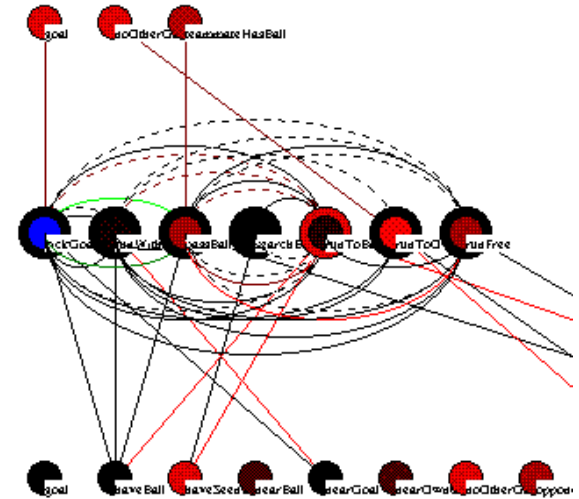
## ■ Nachteile

- Zusammenspiel zwischen Control Execution und Reactive Layer ist nicht trivial

# Architekturen

## ■ Verhaltensnetzwerke

- Beliefs steuern die Ausführbarkeit
- Ziele steuern die Aktivierung von Verhalten
- Ausführbares Verhalten mit der höchsten Aktivierung wird ausgewählt
- Eigenes Kapitel



## ■ Vorteile

- Kombination aus proaktivem und reaktivem Verhalten
- Symbolische Repräsentation (numerische Verarbeitung)
- Schnell

## ■ Nachteile

- Nicht immer einfach, gewünschtes Verhalten zu erzielen
- Objekte Adressieren (Lösung: indexical functional objects)

# Vorwärts-Kinematik

## ■ Frage

- Wo ist meine Fußspitze?
- Genauer, was ist deren Pose (Position und Orientierung)

## ■ Gesucht

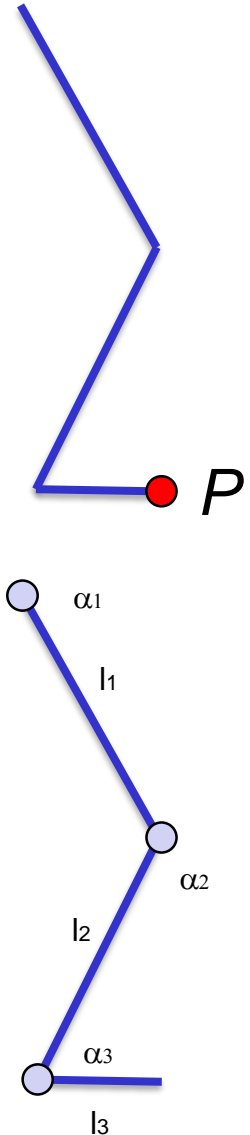
- Punkt  $P$

## ■ Bekannt

- Geometrie der Körperteile (hier Längen)
- Aufhängungspunkte
- Winkel

## ■ Problem

- Winkel sind im lokalen Koordinatensystem angegeben



# Vorwärts-Kinematik

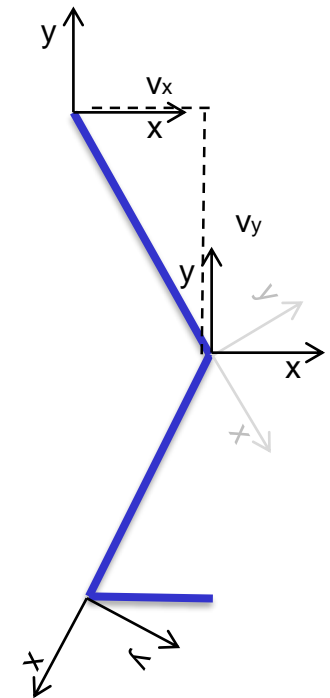
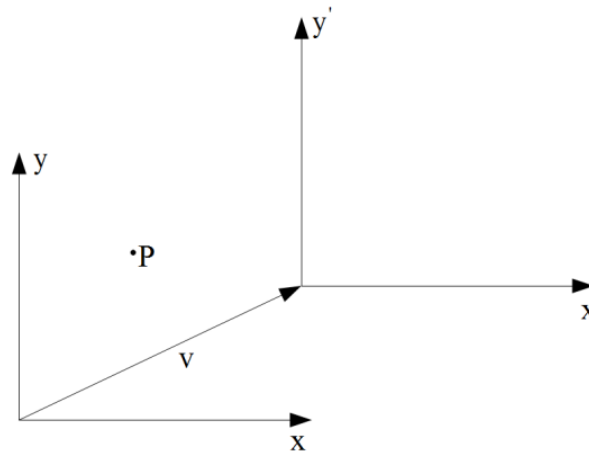
- Berechnung der Position erfolgt durch geometrische Transformationen
- Translation als Vektoraddition

$$P = \begin{bmatrix} P_x \\ P_y \\ P_z \end{bmatrix}$$

$$T = \begin{bmatrix} v_x \\ v_y \\ v_z \end{bmatrix}$$

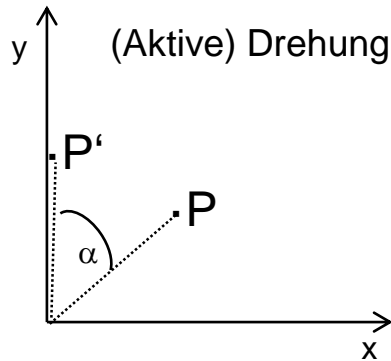
$$P' = P + T$$

$$P' = \begin{bmatrix} P_x + v_x \\ P_y + v_y \\ P_z + v_z \end{bmatrix}$$



# Vorwärts-Kinematik

## ■ Rotation mit orthogonalen Rotationsmatrizen in 2D

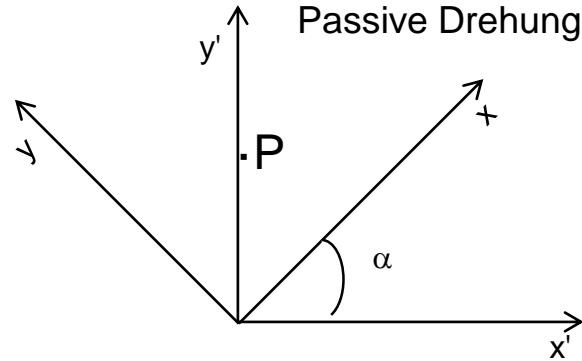


$$R = \begin{bmatrix} \cos\alpha & -\sin\alpha \\ \sin\alpha & \cos\alpha \end{bmatrix}$$

$$P' = RP$$

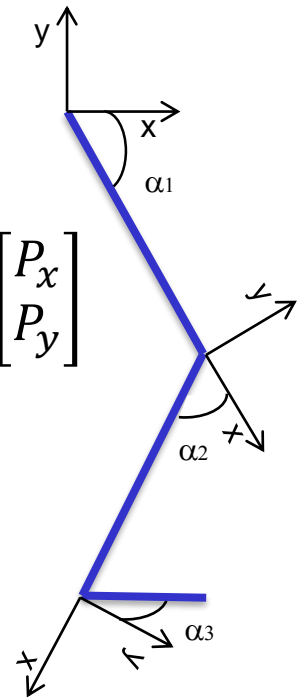
$$P' = \begin{bmatrix} \cos\alpha & -\sin\alpha \\ \sin\alpha & \cos\alpha \end{bmatrix} \begin{bmatrix} P_x \\ P_y \end{bmatrix}$$

$$P' = \begin{bmatrix} P_x \cos\alpha - P_y \sin\alpha \\ P_x \sin\alpha + P_y \cos\alpha \end{bmatrix}$$



$$R = \begin{bmatrix} \cos(-\alpha) & -\sin(-\alpha) \\ \sin(-\alpha) & \cos(-\alpha) \end{bmatrix}$$

$$P = \begin{bmatrix} P_x \\ P_y \end{bmatrix}$$





# Vorwärts-Kinematik

## ■ 3D

$$R_x(\alpha) = \begin{bmatrix} 1 & 0 & 0 \\ 0 & \cos\alpha & -\sin\alpha \\ 0 & \sin\alpha & \cos\alpha \end{bmatrix} \quad R_y(\alpha) = \begin{bmatrix} \cos\alpha & 0 & \sin\alpha \\ 0 & 1 & 0 \\ -\sin\alpha & 0 & \cos\alpha \end{bmatrix} \quad R_z(\alpha) = \begin{bmatrix} \cos\alpha & -\sin\alpha & 0 \\ \sin\alpha & \cos\alpha & 0 \\ 0 & 0 & 1 \end{bmatrix}$$

$$P' = RP$$

- Mehrere Rotationen

$$P' = R_1 R_2 P$$

- Die Reihenfolge ist wichtig!

$$R_x\left(\frac{\pi}{4}\right) \cdot R_y\left(\frac{\pi}{4}\right) = \begin{bmatrix} 0.71 & 0 & 0.71 \\ 0.5 & 0.71 & -0.5 \\ -0.5 & 0.71 & 0.5 \end{bmatrix}$$

$$R_x\left(\frac{\pi}{4}\right) \cdot R_y\left(\frac{\pi}{4}\right) \cdot \begin{bmatrix} 1 \\ 2 \\ 3 \end{bmatrix} = \begin{bmatrix} 2.83 \\ 0.41 \\ 2.41 \end{bmatrix}$$

$$R_y\left(\frac{\pi}{4}\right) \cdot R_x\left(\frac{\pi}{4}\right) = \begin{bmatrix} 0.71 & 0.5 & 0.5 \\ 0 & 0.71 & -0.71 \\ -0.71 & 0.5 & 0.5 \end{bmatrix}$$

$$R_y\left(\frac{\pi}{4}\right) \cdot R_x\left(\frac{\pi}{4}\right) \cdot \begin{bmatrix} 1 \\ 2 \\ 3 \end{bmatrix} = \begin{bmatrix} 3.21 \\ -0.71 \\ 1.79 \end{bmatrix}$$

# Vorwärts-Kinematik

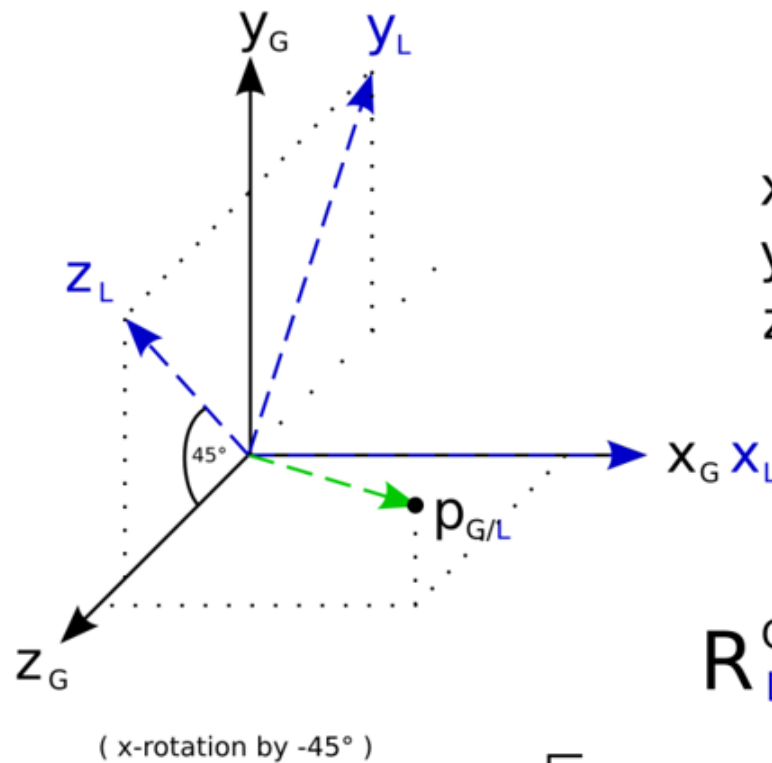
## ■ Orthogonale Rotationsmatrizen

- Erster Spaltenvektor ist Richtung der x-Achse, zweiter y-Achse, dritter z-Achse des rotierten Koordinatensystems im Original-Koordinatensystem
- Erster Zeilenvektor ist Richtung der x-Achse, zweiter y-Achse, dritter z-Achse des Original-Koordinatensystems im rotierten Koordinatensystem
- Inverse Rotation ist transponierte der Originalmatrix
- Rechtshändig, orthogonal, normiert
  - Rechte Hand Regel für die Stellung der Achsen
  - Rechte Hand Regel für die Richtung positiver Rotation

# Vorwärts Kinematik

## ■ Beispiel

- Rotation um x mit  $-45^\circ$



$$\begin{array}{l} \begin{array}{ccc} x_L & y_L & z_L \\ \downarrow & \downarrow & \downarrow \\ x & y & z \end{array} \\ \begin{array}{l} x_G \rightarrow x \\ y_G \rightarrow y \\ z_G \rightarrow z \end{array} \begin{bmatrix} m_{00} & m_{01} & m_{02} \\ m_{10} & m_{11} & m_{12} \\ m_{20} & m_{21} & m_{22} \end{bmatrix} \end{array}$$

$$R_L^G \times p_L = p_G$$

$$\begin{bmatrix} m_{00} & m_{01} & m_{02} \\ m_{10} & m_{11} & m_{12} \\ m_{20} & m_{21} & m_{22} \end{bmatrix} \times \begin{bmatrix} p_{L_x} \\ p_{L_y} \\ p_{L_z} \end{bmatrix} = \begin{bmatrix} p_{G_x} \\ p_{G_y} \\ p_{G_z} \end{bmatrix}$$

# Vorwärts-Kinematik

## ■ Beispiel

### ■ Gegeben

$$\text{sei } \alpha_1 = -60, \alpha_2 = -55, \alpha_3 = 115$$

$$\text{sei } a_1 = 2.5, a_2 = 2.5, a_3 = 1$$

$$H_{Global} = \begin{bmatrix} 0 \\ 0 \\ 0 \end{bmatrix}$$

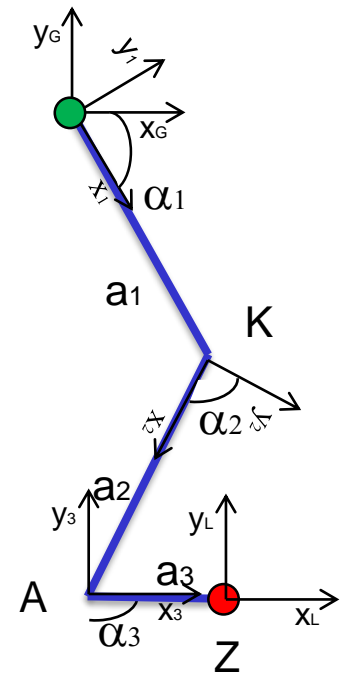
$$T_1 = \begin{bmatrix} 2.5 \\ 0 \\ 0 \end{bmatrix}$$

### ■ Gesucht: Koordinate der Fußspitze im Hüft-Koord.

$$K_{Hüfte} = H_{Global} + R_{Knie}^{Hüfte} T_1 = \begin{bmatrix} 1.25 \\ -2.17 \\ 0 \end{bmatrix}$$

$$A_{Hüfte} = K_{Hüfte} + (R_{Knie}^{Hüfte} R_{Knöchel}^{Knie}) T_2 = \begin{bmatrix} 0.19 \\ -4.43 \\ 0 \end{bmatrix}$$

$$Z_{Hüfte} = A_{Hüfte} + (R_{Knie}^{Hüfte} R_{Knöchel}^{Knie} R_{Zeh}^{Knöchel}) T_3 = \begin{bmatrix} 1.19 \\ -4.43 \\ 0 \end{bmatrix}$$



# Vorwärts Kinematik

## ■ Pose

- Lage und Richtung eines Körperteils (bzw. Koordinatensystems) wird als Pose bezeichnet
  - Position des Ursprungs (im Bezug auf das Referenz-Koordinatensystem)
  - Rotation (im Bezug auf das Referenz-Koordinatensystem)

$$Z_{H\ddot{u}fte} = P_{Knie}^{H\ddot{u}fte} P_{Kn\ddot{o}chel}^{Knie} P_{Zeh}^{Kn\ddot{o}chel} * Z_{Zeh}$$

## ■ In Java

- ```
Pose3D pose1 = new Pose3D(Vector3D.ZERO, rot1);  
Pose3D pose2 = pose1.applyTo(new Pose3D(trans1, rot2));  
Pose3D pose3 = pose2.applyTo(new Pose3D(trans2, rot3));  
Pose3D poseL = pose3.applyTo(new Pose3D(trans3, Rotation.IDENTITY));  
Vector3D zehH\ddot{u}fte = poseL.applyTo(zehZeh);
```
- `poseL` ist also die Pose des Koordinatensystems der Fußspitze bezogen auf das Hüftkoordinatensystem
  - `zehH\ddot{u}fte` ist die Lage der Fußspitze im Hüft-Koordinatensystem

# Vorwärts-Kinematik

## ■ Homogene Transformationsmatrizen

- 4x4 Matrix für 3D Transformationen
- Erlauben, alle Transformationen gleich zu behandeln und zu verknüpfen

- $H = \begin{bmatrix} \text{Rotation} & \text{Translation} \\ \text{Perspektive} & \text{Skalierung} \end{bmatrix}$

## ■ Beispiel

- Rotation um x Achse und Translation

$$H = \begin{bmatrix} 1 & 0 & 0 & x \\ 0 & 1 & 0 & y \\ 0 & 0 & 1 & z \\ 0 & 0 & 0 & 1 \end{bmatrix} \cdot \begin{bmatrix} 1 & 0 & 0 \\ 0 & \cos\alpha & -\sin\alpha \\ 0 & \sin\alpha & \cos\alpha \\ 0 & 0 & 0 \end{bmatrix} \begin{bmatrix} 0 \\ 0 \\ 0 \\ 1 \end{bmatrix} = \begin{bmatrix} 1 & 0 & 0 & x \\ 0 & \cos\alpha & -\sin\alpha & y \\ 0 & \sin\alpha & \cos\alpha & z \\ 0 & 0 & 0 & 1 \end{bmatrix}$$

Translation

Rotation

Kombiniert

# Vorwärts-Kinematik

## ■ Beispiel

$$R_1 = \begin{bmatrix} \cos \alpha_1 & -\sin \alpha_1 & 0 & 0 \\ \sin \alpha_1 & \cos \alpha_1 & 0 & 0 \\ 0 & 0 & 1 & 0 \\ 0 & 0 & 0 & 1 \end{bmatrix} \quad T_1 = \begin{bmatrix} 1 & 0 & 0 & a_1 \\ 0 & 1 & 0 & 0 \\ 0 & 0 & 1 & 0 \\ 0 & 0 & 0 & 1 \end{bmatrix}$$

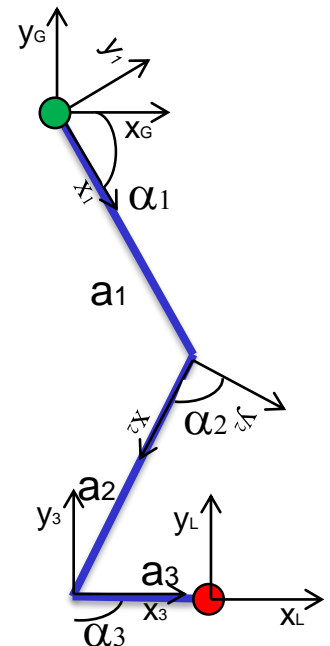
$$R_2 = \begin{bmatrix} \cos \alpha_2 & -\sin \alpha_2 & 0 & 0 \\ \sin \alpha_2 & \cos \alpha_2 & 0 & 0 \\ 0 & 0 & 1 & 0 \\ 0 & 0 & 0 & 1 \end{bmatrix} \quad T_2 = \begin{bmatrix} 1 & 0 & 0 & a_2 \\ 0 & 1 & 0 & 0 \\ 0 & 0 & 1 & 0 \\ 0 & 0 & 0 & 1 \end{bmatrix}$$

...

...

$$M = R_1 T_1 R_2 T_2 R_3 T_3$$

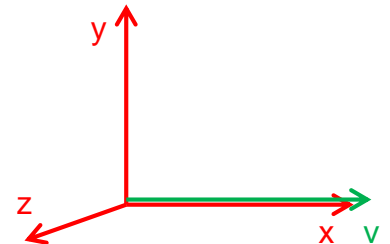
$$P_L = \begin{bmatrix} 0 \\ 0 \\ 0 \\ 1 \end{bmatrix} \quad P_G = M P_L = \begin{bmatrix} 1.19 \\ -4.43 \\ 0 \\ 1 \end{bmatrix}$$



# Vorwärts-Kinematik

## ■ Rotation 3D: Quaternionen

- Komplexe Zahlen mit 3 Imaginär-Anteilen
  - $q = q_0 + q_1 i + q_2 j + q_3 k$
- Polardarstellung  $q = \cos -\frac{\alpha}{2} + v \sin -\frac{\alpha}{2}$  (v Einheitsquaternion)
- Geometrische Deutung
  - Imaginär Anteil ist Richtung der Rotationsachse
  - $q_0$  repräsentiert Rotationswinkel
  - Beispiel:  $-45^\circ$  Rotation um x-Achse
  - $q_0 = 0.924$ ,  $q_1 = 0.383$ ,  $q_2 = 0$ ,  $q_3 = 0$
- Rotation:
  - $x' = 2 * (q_0 * (x * q_0 - (q_2 * z - q_3 * y)) + s * q_1) - x$
  - $y' = 2 * (q_0 * (y * q_0 - (q_3 * x - q_1 * z)) + s * q_2) - y$
  - $z' = 2 * (q_0 * (z * q_0 - (q_1 * y - q_2 * x)) + s * q_3) - z$
  - Mit  $s = q_1 * x + q_2 * y + q_3 * z$

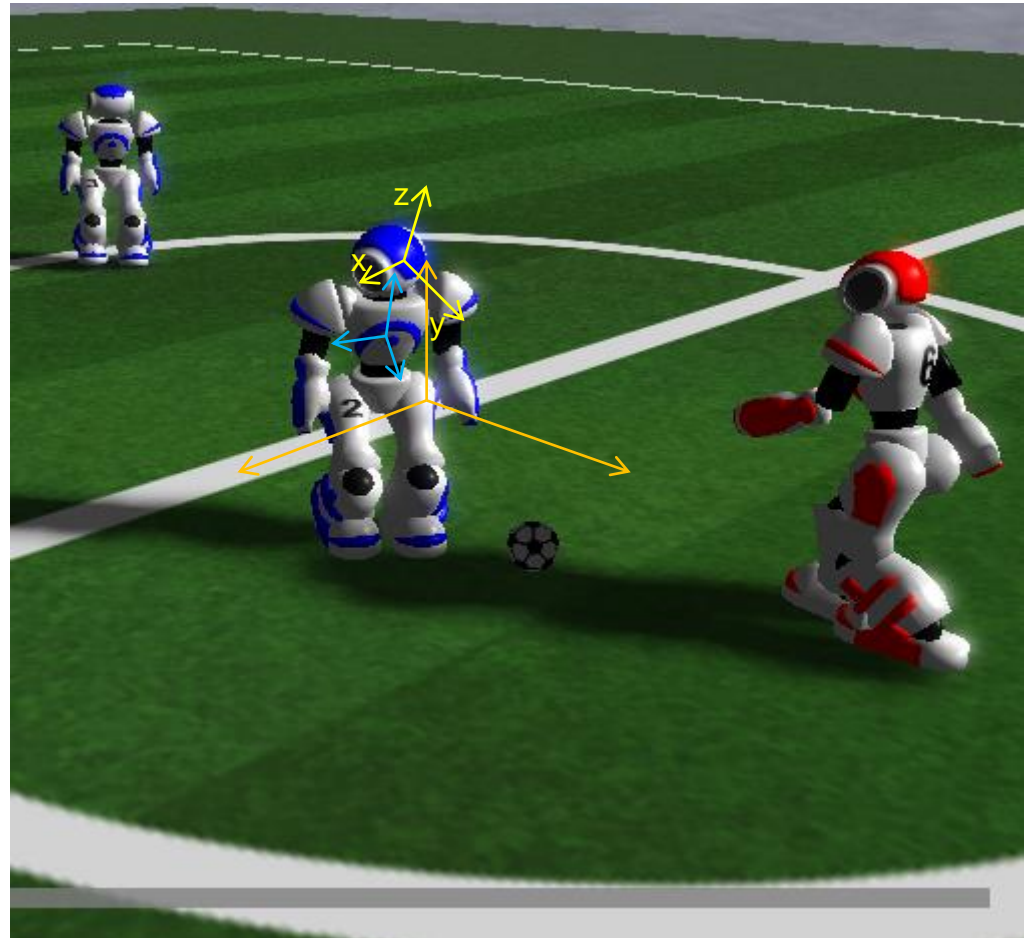
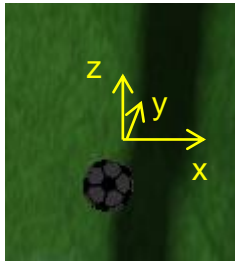




# Vorwärts-Kinematik

## ■ Weiteres Beispiel

- Wo ist der Ball?
- Blick eines Beobachters →
- Lokaler Blick von Blau 2  
↓



$$P' = R_G T_G R_T T_T P$$

# Inverse Kinematik

## ■ Frage

- Wie kriege ich meine Fußspitze an den Punkt P?

## ■ Gesucht

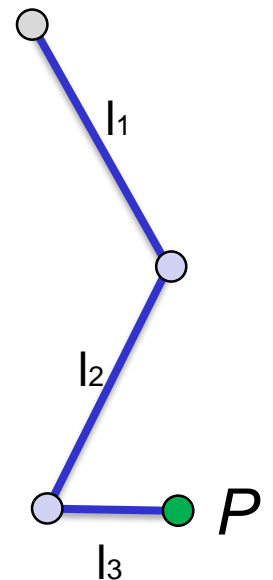
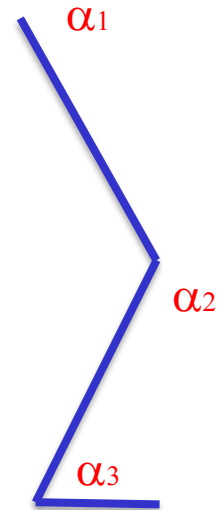
- Winkel

## ■ Bekannt

- Geometrie der Körperteile (hier Längen)
- Aufhängungspunkte
- Zielpunkt (eines Körperteils)

## ■ Problem

- Lösung ist meist nicht eindeutig
- Unzulässige Konfigurationen
- Es gibt nicht immer eine Lösung
  - Workspace: erreichbare Punkte
  - Dexterous Workspace: in jeder Orientierung des Endglieds erreichbare Punkte



# Inverse Kinematik

## ■ Geometrische Methode

- Beispiel zwei Drehgelenke in 2D
- Für  $\alpha_2$

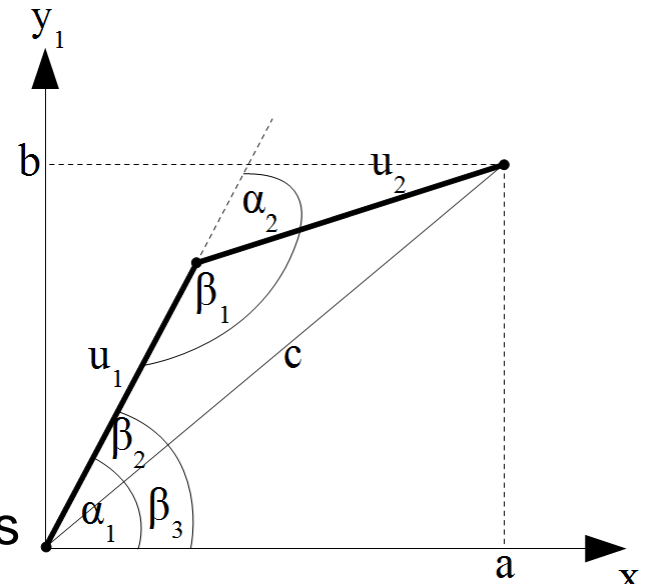
$$\cos \beta_1 = \frac{u_1^2 + u_2^2 - c^2}{2u_1u_2} \quad *$$

Da  $c$  unbekannt ist, Satz des Pythagoras

$$\cos \beta_1 = \frac{u_1^2 + u_2^2 - a^2 - b^2}{2u_1u_2}$$

Und somit

$$\alpha_2 = 180 - \cos^{-1} \left( \frac{a^2 + b^2 - u_1^2 - u_2^2}{2u_1u_2} \right)$$



\* Kosinussatz  $c^2 = a^2 + b^2 - 2ab \cos \alpha$

# Inverse Kinematik

## ■ Geometrische Methode

- Für  $\alpha_1$

$$\beta_3 = \tan^{-1} \left( \frac{b}{a} \right)$$

Mit Hilfe des grünen Dreiecks

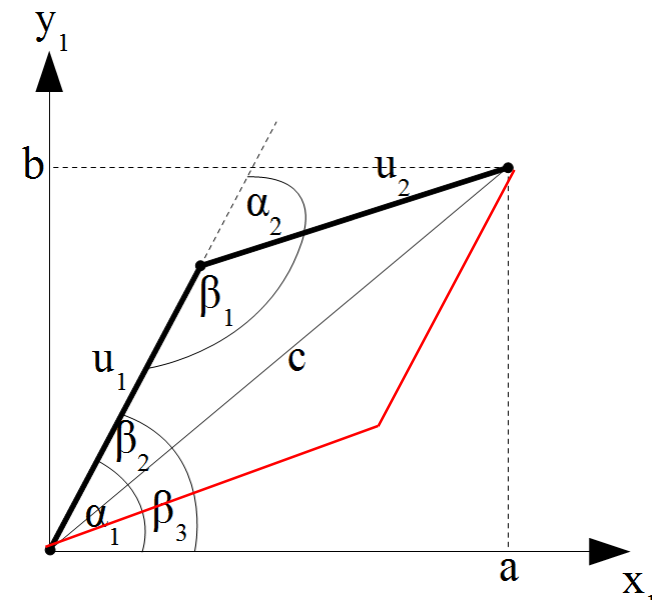
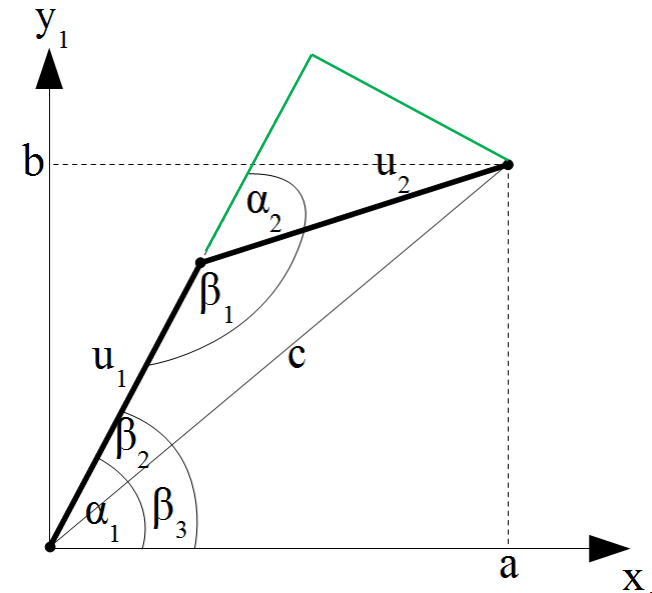
$$\beta_2 = \tan^{-1} \left( \frac{u_2 \sin \alpha_2}{u_1 + u_2 \cos \alpha_2} \right)$$

Und somit

$$\alpha_1 = \beta_2 + \beta_3$$

## ■ Alternative Lösung

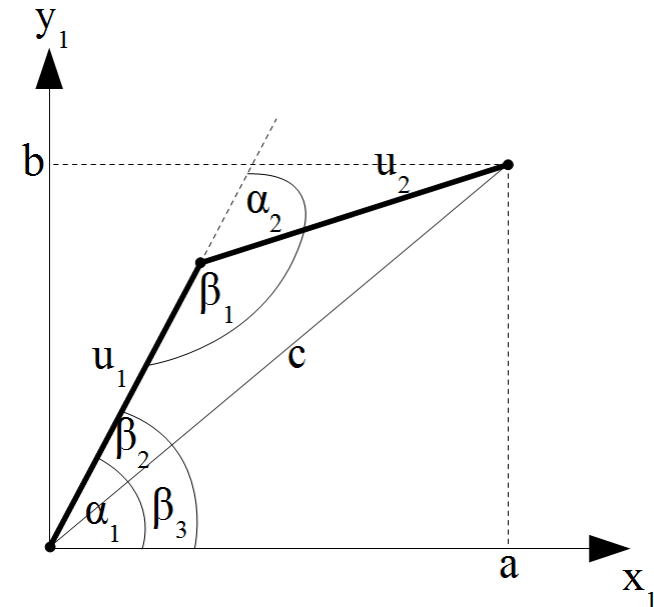
- Falls die Gelenke diese Stellung zulassen



# Inverse Kinematik

## ■ Algebraische Methode

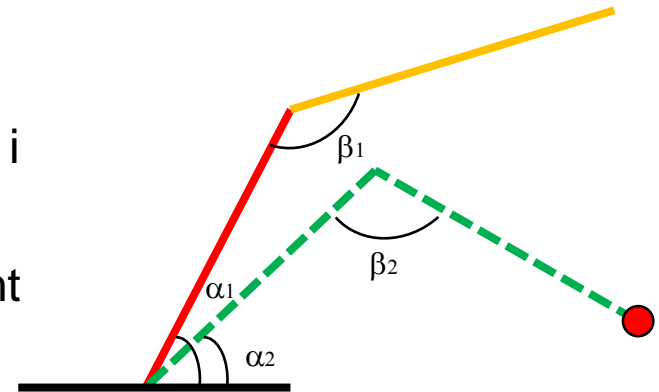
- Vorwärts Kinematik
  - $x = u_1 \cos \alpha_1 + u_2 \cos(\alpha_1 + \alpha_2)$
  - $y = u_1 \sin \alpha_1 + u_2 \sin(\alpha_1 + \alpha_2)$
- Inverse Kinematik
  - Gesucht  $\alpha_1$  und  $\alpha_2$
  - $x$  und  $y$  sind gegeben
  - Zwei Gleichungen mit zwei Unbekannten
  - Auflösen nach  $\alpha_1$  und  $\alpha_2$
- Meist schwierig, da trigonometrische Funktionen involviert sind
- Für jedes Robotermodell spezifische Lösung notwendig



# Inverse Kinematik

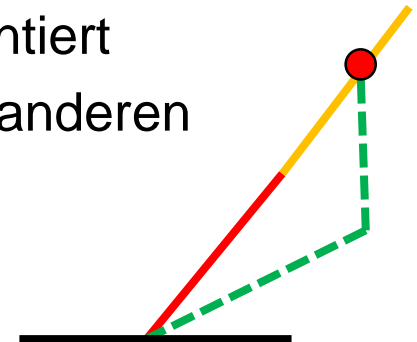
## ■ Numerische Methode

- Z.B. Cyclic Coordinate Descent
  - For  $i = n$  to 1 do verändere Gelenk  $i$
  - -> Minimiere Zielfunktion
  - Bis Zielposition hinreichend erreicht
- Andere Verfahren
  - Jacobian Transpose
  - Pseudo Inverse
  - Damped Least Squares



## ■ Probleme

- Iterativ, Konvergenzgeschwindigkeit nicht garantiert
- Resultierende Bewegung weniger rund als bei anderen Verfahren
- Liefert keine Lösung, wenn keine einzelne Bewegung näher an das Ziel führt



# Inverse Kinematik

## ■ Geschlossene Form:

- Geometrische Lösung
  - + : Fallunterscheidung der Roboter-Konfigurationen
  - : Robotertypen-spezifisch
- Algebraische Lösung
  - + : korrekte Lösungen aus Gleichungen
  - : geometrisch nicht anschaulich
  - : Robotertypen-spezifisch

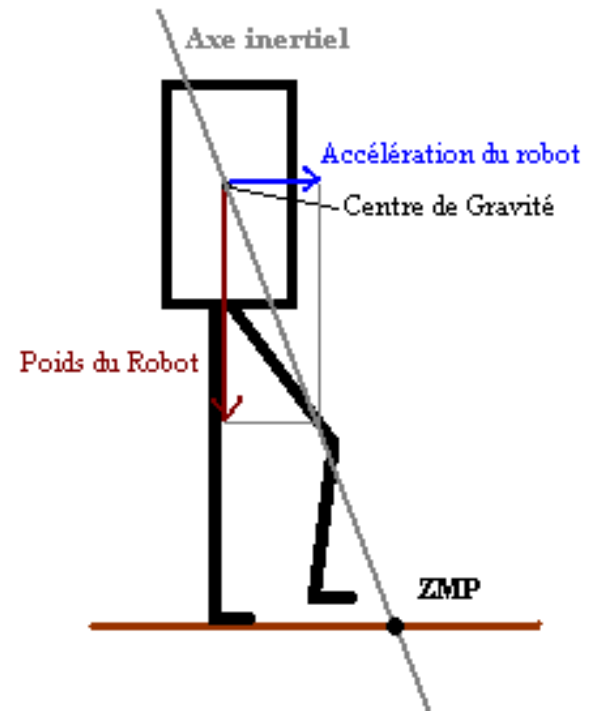
## ■ Numerische Form:

- Iterative Verfahren
  - + : Verfahren übertragbar auf beliebige Robotermodelle
  - : rechenintensiv, nicht garantierte Konvergenz bei Sonderfällen

# Laufen auf zwei Beinen

## ■ Begriffe

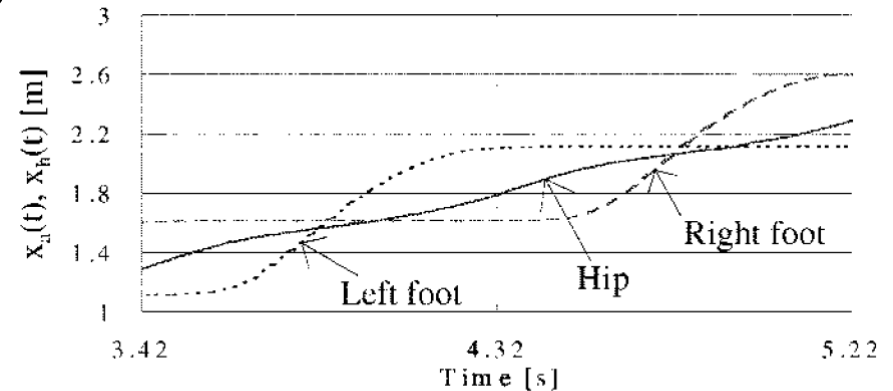
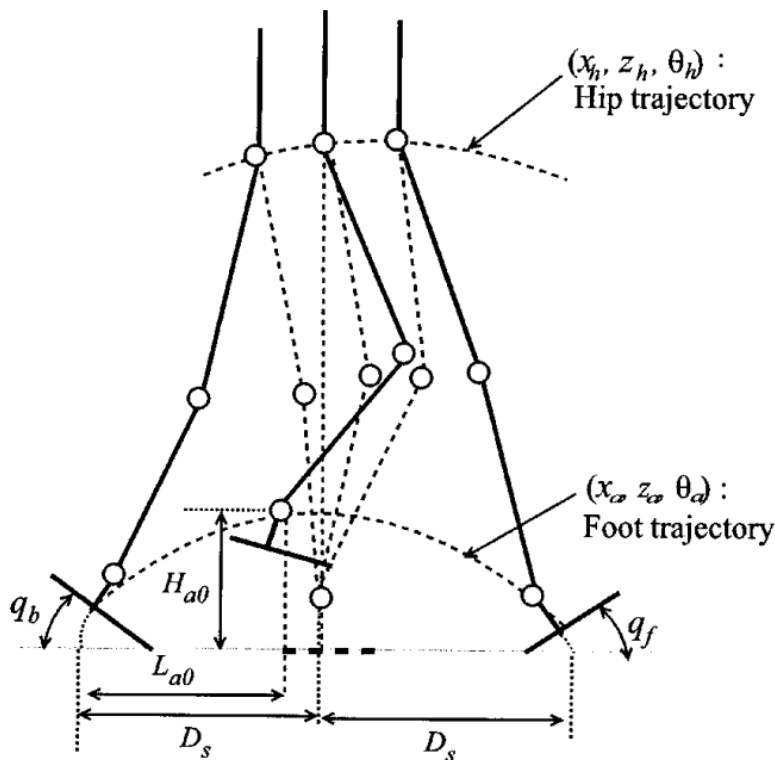
- Center of Mass (CoM)
  - Masseschwerpunkt
- Zero Moment Point (ZMP)
  - Punkt auf dem Boden, der keine horizontale Kraft erzeugt
- Supportpolygon (SP)  
Befindet sich der ZMP innerhalb des SP, fällt er nicht um
- Statische Stabilität
  - CoM immer über den Füßen
- Dynamische Stabilität
  - CoM auch außerhalb der Füße
  - Bewegungsende kann bedeuten, dass der Roboter umfällt



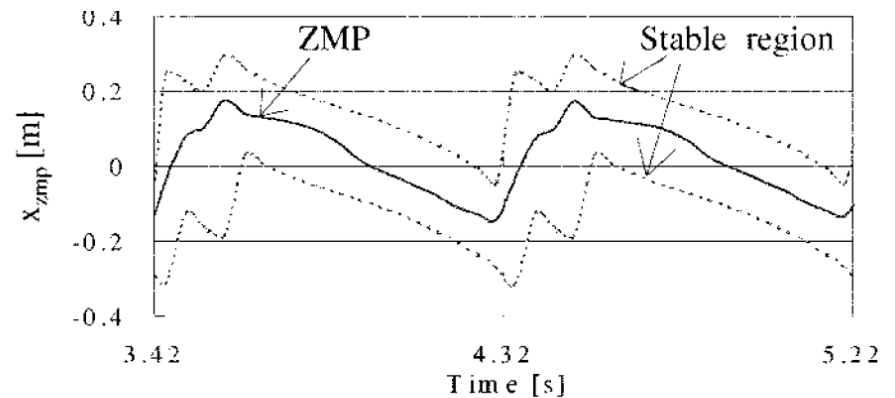


# Laufen auf zwei Beinen

- Wie müssen die Beine bewegt werden, damit Laufen in eine gewünschte Richtung entsteht?



(d) Foot motion and hip motion in x-axis



(e) ZMP trajectory in the hip coordinate system

# Laufen auf zwei Beinen

## ■ Parameter definieren die Kurven von Fuß und Hüfte

- $T_c$  = duration of the whole motion ( $T_d < T_m < T_c$ )
- $T_m$  = time when the foot should touch the ground again
- $T_d$  = middle of the motion
- $h_{gs}$  = Height of Ground when leaving the Ground (hip height)
- $h_{ge}$  = Height of Ground when touching the Ground again (hip height)
- $D_s * 2$  = Step-Length
- $H_{ao}$  = Highest Point of the Foot during a step
- $L_{ao}$  = Distance of  $H_{ao}$  relative to the Point the foot leaves the Ground
- $q_{gs}$  = Angle of the Ground when leaving the Ground
- $q_b$  = Foot-Angle when leaving the Ground
- $q_f$  = Foot-Angle when touching the Ground again
- $q_{ge}$  = Angle of the Ground when touching the Ground again
- $x_{ed}$  = Hip to Ankle distance at the start of the single support phase
- $x_{sd}$  = Hip to Ankle distance at the end of the single support phase
- $l_{ab}$  = Distance Ankle->Heel
- $l_{af}$  = Distance Ankle->Tiptoe
- $l_{an}$  = Distance Ankle->Sole

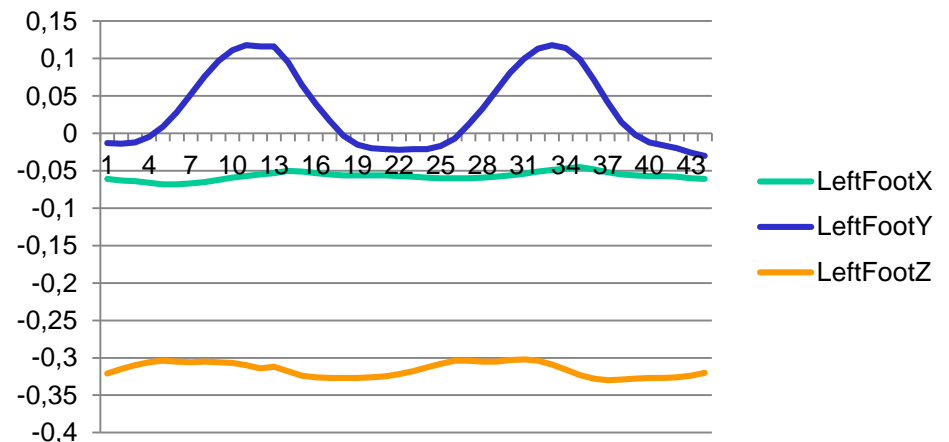
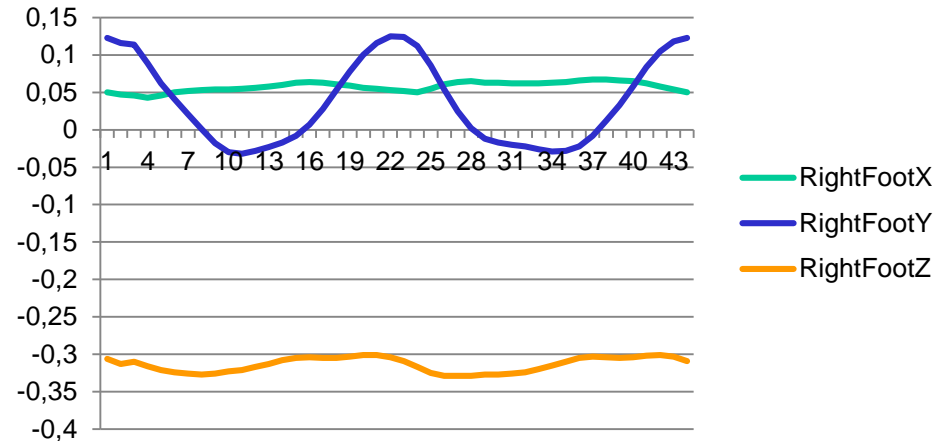
# Laufen auf zwei Beinen

- Aus den Parametern werden Splines berechnet
- Parameter wurden gelernt

- Tabu Suche
- Genetisch
- CMA-ES

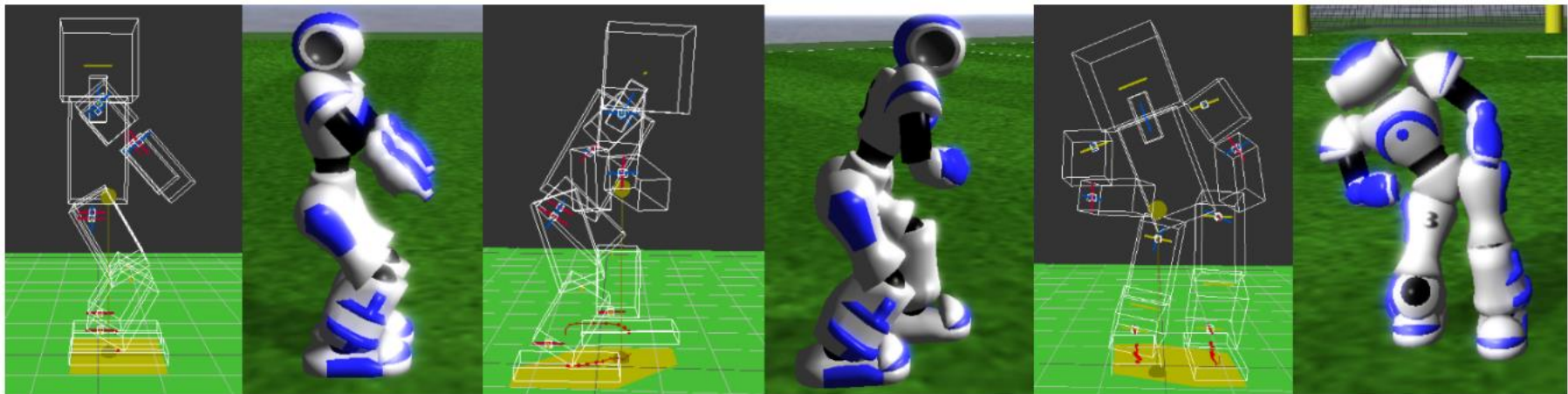
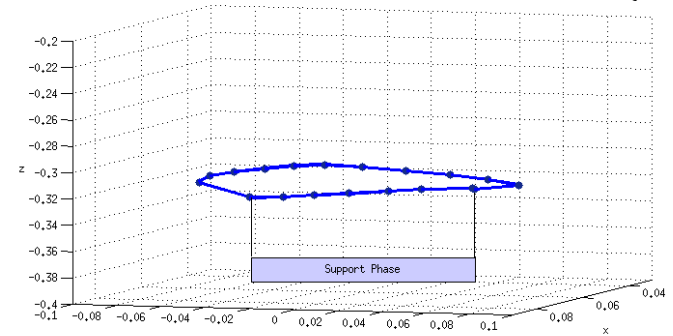
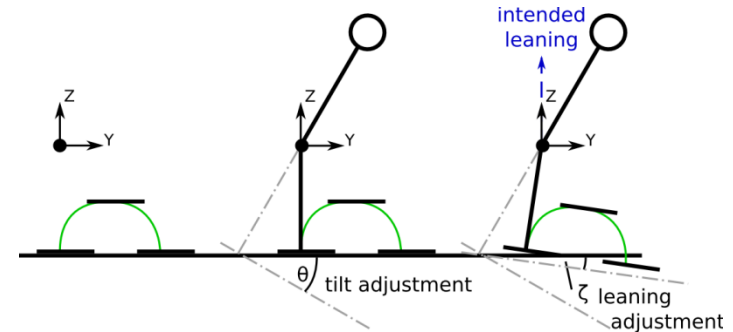
## ■ Probleme

- Ursprüngliches Modell ist fürs geradeaus Laufen
- Wir wollen in jede Richtung laufen und uns drehen können
- Zu langsam



# Laufen auf zwei Beinen

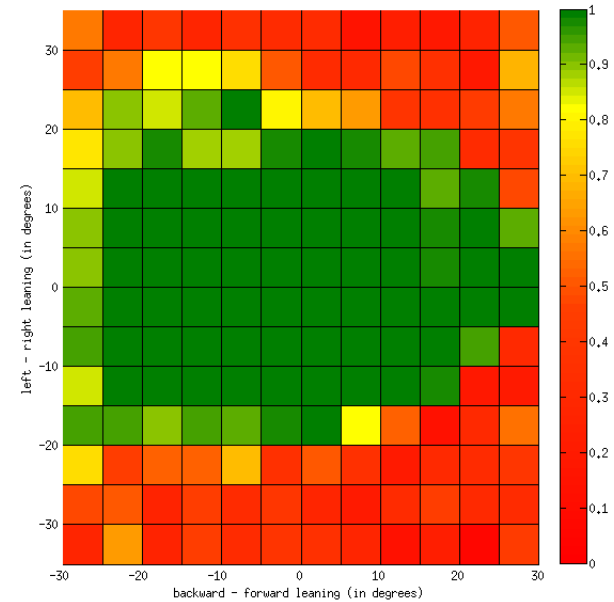
- Dynamische Anpassung der Bewegung an Lage des Torso
  - Invers kinematisch
  - Gekapselt in einem Framework
- Spezifikation
  - Fußtrajektorie
  - Gewünschte Torsoorientierung



# Laufen auf zwei Beinen

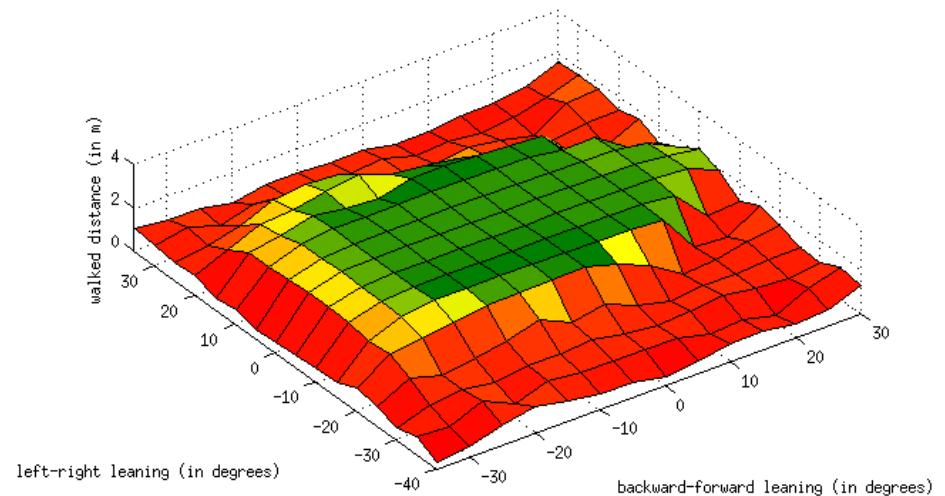
## ■ Zuverlässigkeit

- Variation von vorwärts und seitwärts Lage



## ■ Geschwindigkeit

| Benchmark       | Classic | Trunk controlled |
|-----------------|---------|------------------|
| Forward (m/s)   | 0.85    | 0.84             |
| Backward (m/s)  | 0.75    | <b>0.78</b>      |
| Sideward (m/s)  | 0.48    | <b>0.56</b>      |
| Diagonal (m/s)  | 0.62    | <b>0.73</b>      |
| Turning (deg/s) | 158.1   | <b>179.4</b>     |



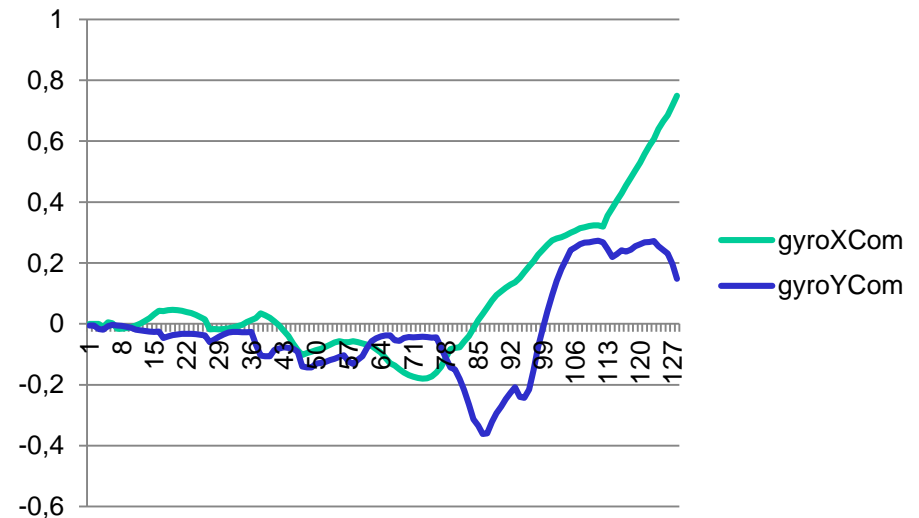
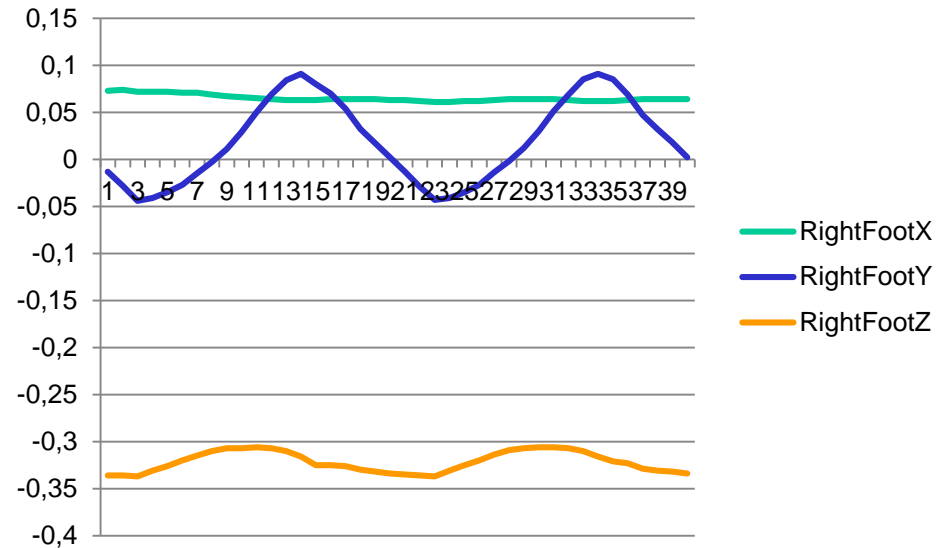
# Laufen auf zwei Beinen

## ■ Vorteile

- Schneller (4:0)
- Einfachere Kontrolle
- Ermöglicht Schießen aus dem Lauf

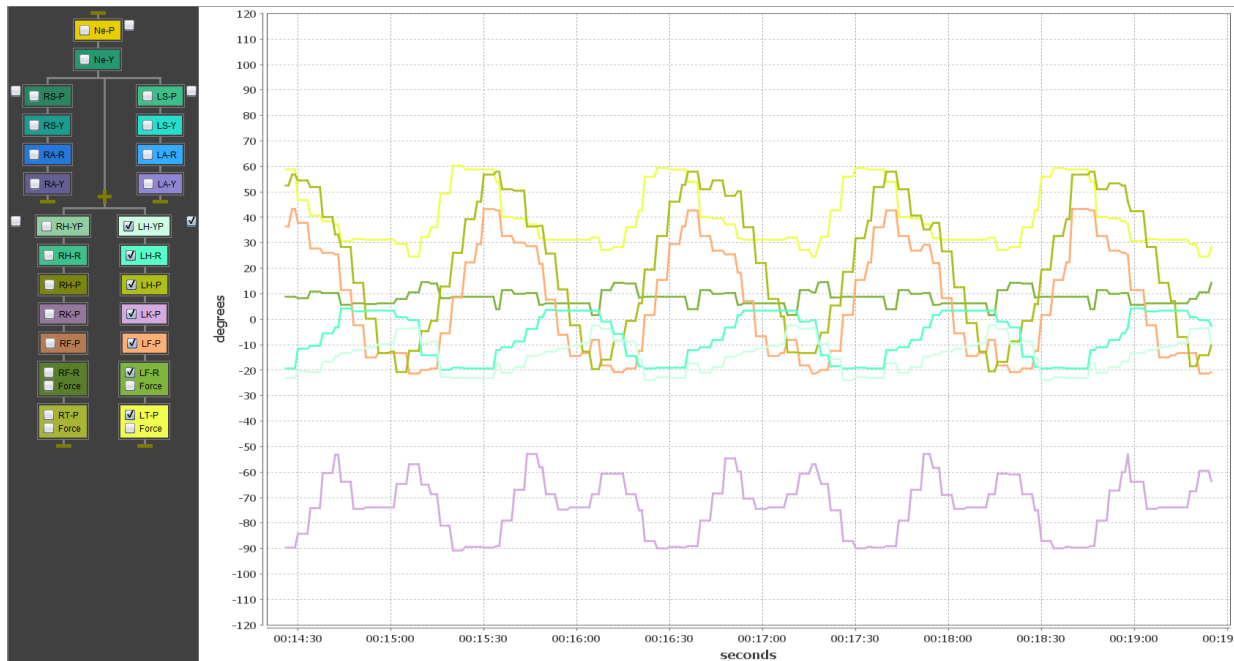
## ■ Probleme

- Open Loop: schnelle statische Version berücksichtigt Lage und Beschleunigung des Roboters nicht -> fällt noch zu oft hin



# Laufen im Fußball

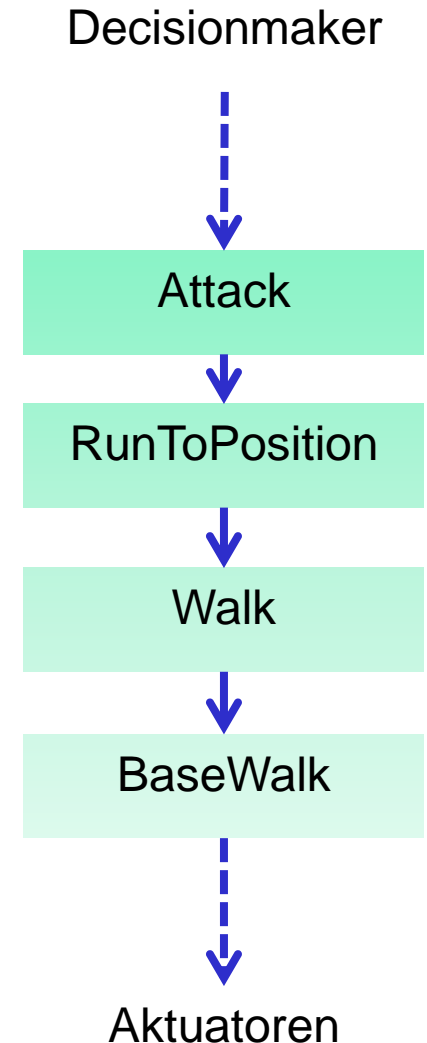
- Lernen einer Laufbewegung im Gelenkraum
  - 116 freie Parameter
  - Angle und Speed von sieben Gelenken pro Bein (28)
  - Für insgesamt vier Bewegungsphasen (112)
  - Dauer jeder Phase (116)
  - Modellfrei genetisch gelernt (Bewegung und Roboter)



# Laufen im Fußball

## ■ Zum Ball rennen hat derzeit vier Ebenen

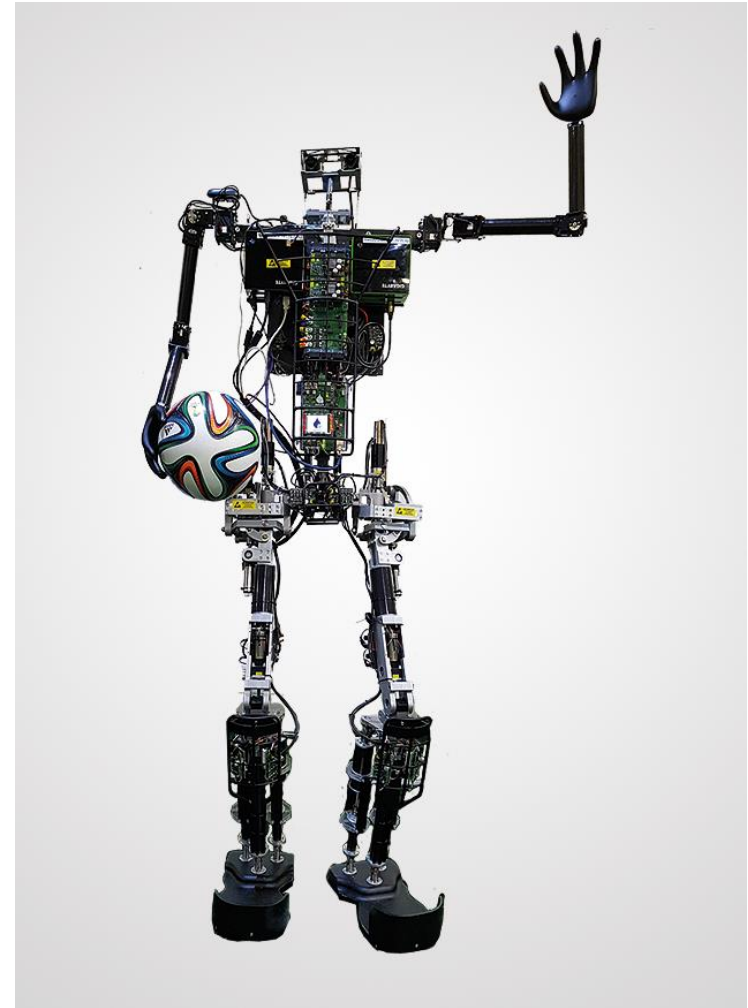
- Ebene 4
  - Wohin soll ich rennen?
  - In welche Richtung will ich zum Ball stehen?
- Ebene 3
  - Hindernisvermeidung
- Ebene 2
  - Umrechnung ins lokale Koordinatensystem
  - Teilweise Anpassung an Ziel
- Ebene 1
  - Laufen auf zwei Beinen
- Höhere Ebenen instrumentieren niedrigere
- Ebenen können übersprungen werden





# Sweaty

- Zweibeiniger Roboter der Hochschule Offenburg
  - 22 Freiheitsgrade
  - Kamera
  - Gyro
  - Accelerometer
  - Drucksensoren
- Roboterbau
  - Prof. Hochberg
- Bildverarbeitung
  - Prof. Wülker
- Entscheidungssoftware
  - Prof. Dorer



# Zusammenfassung

- Roboter Architekturen definieren, wie anhand von Sensordaten (und Zielen) Verhalten auszuführen sind
- Vorwärtskinematik erlaubt die Berechnung der Pose eines Körperteils
- Rückwärtskinematik erlaubt die Berechnung der Gelenkstellungen, um eine Pose zu erreichen
- Laufen auf zwei Beinen... ist schwierig
- Fürs Leben
  - Wer die Welt wahrnimmt ist klar im Vorteil